

دراسة إحصائية للدرجة حرارة الأرض

انها تذبذب بين -65° و 65° حتى درجة مئوية حتى عام 2100 وتم الإكتفاء بالتوقع حتى عام 2100 وذلك ليس لترابط الخطأ فقط ولكن ليس من المحتمل بل الأكيد تواجد موجه أكبر لم يمكن تحديدها نظراً لقلة البيانات، ويتمثل الشكل (٦) السيناريو المستقبلي للدالة الثانية ويوضح الشكل رقم (٧) توقع المعدل المتحرك لإنحراف الحراري منذ عام ١٩٥٠ حتى ٢٠٠٠ وفيه يتضح أن القرن السادس عشر عصر جليدي مصغر، ويوضح الشكل رقم (٨) السيناريو المستقبلي القائم على الدالة (الثانية) لإنحرافات درجة حرارة الأرض عن المعدل المحسوب للفترة من ١٩٥١ حتى ١٩٨٠ ويوضح أنها تذبذب بين -65° و 65° حتى ١ درجة مئوية حتى عام ٢١٠٠ ويتمثل الشكلي رقم (٩) مجموع البقع الشمسية وكذلك المتوسط المتحرك للسنة ومن الواضح في الدالة المركبة للاتجاه الغير خطى أن طول الموجة لدالة الجيب التربيعي ٧٣٧١ عام تقريباً وطول الموجة لدالة الجيب ٥٦٧٢ عام تقريباً. ولم يستطع الباحث إيجاد تفسير للعلاقة بين طول موجة التغير لذبذبة محور الأرض ٤١٠٠ عام حيث وجد أن

$$Year = 365.25 \times 2 - y^2 / 365.25$$

حيث 365.25 هي طول موجة التغير لدوران الأرض حول الشمس بالليوم . وكذلك المتوسط المتحرك لـ ٣٣ سنة وهو يمثل دورات طبيعية تؤثر في درجة حرارة الأرض كما هو مبين في شكل (١٠)

يتتفق السيناريو الغير خطى مع الدراسات التاريخية السابقة لدرجة حرارة الأرض ومع الدورات المختلفة للعوامل السابقة المؤثرة في درجة حرارة الأرض وأنه لا يوجد منها ما يتغير خطياً والشكلاين ١٢-١١ يثيران تساؤلات هامة، هل زيادة ثانى اكسيد الكربون



د. محمد محمود عيسى
رئيس الإدارة المركزية لبحوث
الأرصاد الجوية والمناخ
الهيئة العامة للأرصاد الجوية

الشكل رقم (١) المعدل المتحرك لإنحرافات درجة حرارة الأرض عن المعدل المحسوب للفترة من ١٩٥١ حتى ١٩٨٠ وكذلك الاتجاه العام الخطى والغير خطى ويوضح الشكل رقم (٢) السيناريوهات المستقبلية القائمة على الاتجاه الخطى والغير خطى حتى عام ٣٠٠٠ . ويوضح الشكل رقم (٣) الدالة المركبة الممثلة للاتجاه الخطى

$$y = -0.32583 + 0.0032583x + (0.012052 + 0.064465 \sin(2(22/7)x/91.42537) - 9.74655)$$

with r^2 Coef Det 0.967166

والدالة المركبة للاتجاه الغير خطى

$$Y = 0.145164 - 2.041202 \sin(2(22/7)x/2216.772592 - 0.534377)^2 + 0.007477 + 0.05493 \sin(2(22/7)x/81.198029 - 10.464075)$$

with r^2 Coef Det 0.985285
ويتمثل الشكل (٤) السيناريو المستقبلي للدالة الأولى ويوضح الشكل رقم (٥) السيناريو المستقبلي القائم على الدالة الأولى لإنحرافات درجة حرارة الأرض عن المعدل المحسوب للفترة من ١٩٥١ حتى ١٩٨٠ ويوضح

التغير المناخي هو اختلال مستمر لفترات طويلة تتعذر مائة عام في الظروف المناخية المعتادة كالحرارة وأنماط الرياح والأمطار التي تميز كل منطقة على الأرض . وأوضح التقرير الأخير للجنة الدولية المعنية بالتغييرات المناخية IPCC الصادر في عام ٢٠٠٧ أنه على الرغم من مظاهر الاليقين العلمي للتغيرات المناخية إلا أن هناك شبه إتفاق بين الخبراء الممثلين لدولهم في الهيئة الحكومية الدولية المعنية بالتغير المناخي بأن المخاطر المتوقعة من التغير المناخي أكبر من أن تترك حتى تظهر نتائج تقسم بدرجة يقين أعلى ، فهناك الكثير من الشواهد التي أكدتها القياسات العلمية الدقيقة والتي تدل على حدوث تغيرات في المناخ، إلا أن هناك أيضاً العديد من الطواهر التي لا يستطيع العلماء حتى الآن تفسيرها أو إثبات العلاقة بينها وبين تغير المناخ . تم إعداد دراسات سابقة تاريخية لتقدير الأحقيات المختلفة لدرجة حرارة الأرض وكذلك العوامل المختلفة المسيبة في تغيراتها ومن أهمها الطاقة الشمسية الواسطة للأرض وحرارة المحيطات والبحار والدورة العامة للرياح وقوة كريلوس وغازات الصوبة الدفيئة. وقد أثير في الفترة الأخيرة الاتجاه العام لإرتفاع درجة حرارة الأرض عن المعدل للفترة من ١٩٥١ حتى ١٩٨٠ وقدره 13.998°C درجة مئوية . تم إجراء هذا البحث بإستخدام الأساليب الإحصائية المختلفة الخطية والغيرخطية وقد تم التوصل إلى نتائجين للاتجاه العام الأول خطى ويفيد الاتجاه العالمي والآخر غيرخطى ويمثل دالة الجيب التربيعي والذي يشير إلى بداية إنخفاض درجة حرارة الأرض في الفترة من ٢٠٠٨ حتى ٢١٠٠ في نطاق حراري من -65° حتى 1° درجة مئوية عن المعدل المحسوب للفترة من ١٩٥١ حتى ١٩٨٠ ويوضح

المتحرك لدرجة حرارة الأرض لفترة ٩٩ عاماً وكذلك الإتجاه العام الغير خطى وتم اختيار المتوسط ٩٩ بعد اختبار المتوسطات ١١، ٣٣، ٦٦ ووجد أن أفضل تمثيل هو ٩٩

والشكل رقم (١٥) يوضح المتوسط المتحرك لدرجة حرارة الأرض لفترة ٩٩ عاماً وكذلك الإتجاه العام الخطى .

ويوضح الشكل رقم (١٦) السيناريو المستقبلي للدالة القائمة على الإتجاه الغير خطى منذ عام ١٥٠٠ حتى عام ٢٦٠٠ ومنه يتضح أن المتوسط المتحرك لدرجة حرارة الأرض لفترة ٩٩ عاماً يتذبذب ارتفاعاً وانخفاضاً في موجة طولها ٨٨ عاماً أي ثمان أضعاف موجة البقع الشمسية وهذا التذبذب يتراوح بين درجة حرارة ١٣,٨٨ ودرجة حرارة ١٤,٠٧ درجة مئوية.

٢٠٠١ حتى ٢٠٠٤ ومنه يتضح أن الدالة (الثانية) أقرب ما يكون إلى الواقع والدراسات الإحصائية كما هو موضع في ملحق (١)

أسلوب آخر للدراسة تم اجراء هذا الإسلوب بإستخدام الأساليب الإحصائية المختلفة الخطية والغير خطية على بيانات متوسط درجة حرارة الأرض لفترة من ١٨٦٧ حتى ٢٠٠٤ (المصدر وكالة ناسا الأمريكية) وقد تم التوصل إلى نمذجين للإتجاه العام الأول خطى ويفيد الإتجاه العالمي والأخر غيرخطى ويمثل دالة الجيب والذي يشير إلى بداية إنخفاض درجة حرارة الأرض في الفترة من ٢٠٠٨ حتى ٢١٠٠ في نطاق حراري من ١٣,٢ حتى ١٥,٣ درجة مئوية حتى عام ٢١٠٠ ويوضح الشكل رقم (١٤) المتوسط

نتيجة النشاط البشري تعمل على رفع درجة حرارة الأرض أم أن إرتفاع درجة حرارة الأرض الناتج عن دورات طبيعية يزيد من تركيز ثاني أكسيد الكربون نتيجة زيادة التنفس للكائنات الحية على سطح الأرض أو بالمحركات والبحار، ويجب أن نضع في الاعتبار الزيادة السكانية الرهيبة خلال الستين سنة الأخيرة وزيادة عمليات التنفس نتيجة ارتفاع الحرارة والارجح هو الرأى الأخير ليكون زيادة ثاني أكسيد الكربون مخزناً للحرارة لفترة تعادل ٦٠٠ عاماً مما يجاهه الانخفاض الطبيعي لدرجة حرارة الأرض المتوقع مما يعمل على التوازن الطبيعي، ويمثل الشكل (١٣) مقارنة بين المعدل المتحرك لأنحرافات الحرارة المقاس والمحسوب من الدالتين الأولى والثانية للأعوام من

ويمثل الإتجاه الغير خطى المعادلة

$$Y=13.97524+0.093653 \cdot \sin(2 \cdot (22/7) \cdot X / 85.964934 - 145.708486)$$

with r² Coef Det 0.993231

حيث X رقم السنة ويمثل الجدول التالي النتائج الإحصائية للمعادلة السابقة

	Value	Std Error	t-Value	95% Confidence Limits
a0	13.97524	0.00656	2130.357	13.96192313.988557
a1	0.093653	0.006155	15.21626	0.0811580.106147
a2	-145.708	9.150354	-15.9238	-291.416973
a3	85.96493	5.443512	15.79218	74.91460497.015264

١٦,٦١ درجة مئوية وهذا لا يتفق مع اي موجة من موجات تغير العوامل التي تؤثر في درجة حرارة الغلاف الجوى .

المتحرك لدرجة حرارة الأرض لفترة ٩٩ عاماً يتزايد سنوياً ويكون في عام ١٥٠٠ ١١,٨٤ درجة مئوية وينتهي في عام ٢٦٠٠ بدرجة حرارة

ويوضح الشكل رقم (١٧) السيناريو المستقبلي للدالة القائمة على الإتجاه الخطى منذ عام ١٥٠٠ حتى عام ٢٦٠٠ ويتبين أن المتوسط

ويمثل الإتجاه الخطى المعادلة

$$Y=5.273168+0.004365 \cdot X$$

with r² Coef Det 0.90866

حيث رقم السنة X ويمثل الجدول التالي النتائج الإحصائية للمعادلة السابقة

	Value	Std Error	t-Value	95% Confidence Limits
a0	5.273168	0.445565	11.83479	4.3686716.177665
a1	0.004365	0.000225	19.44296	0.003910.004821

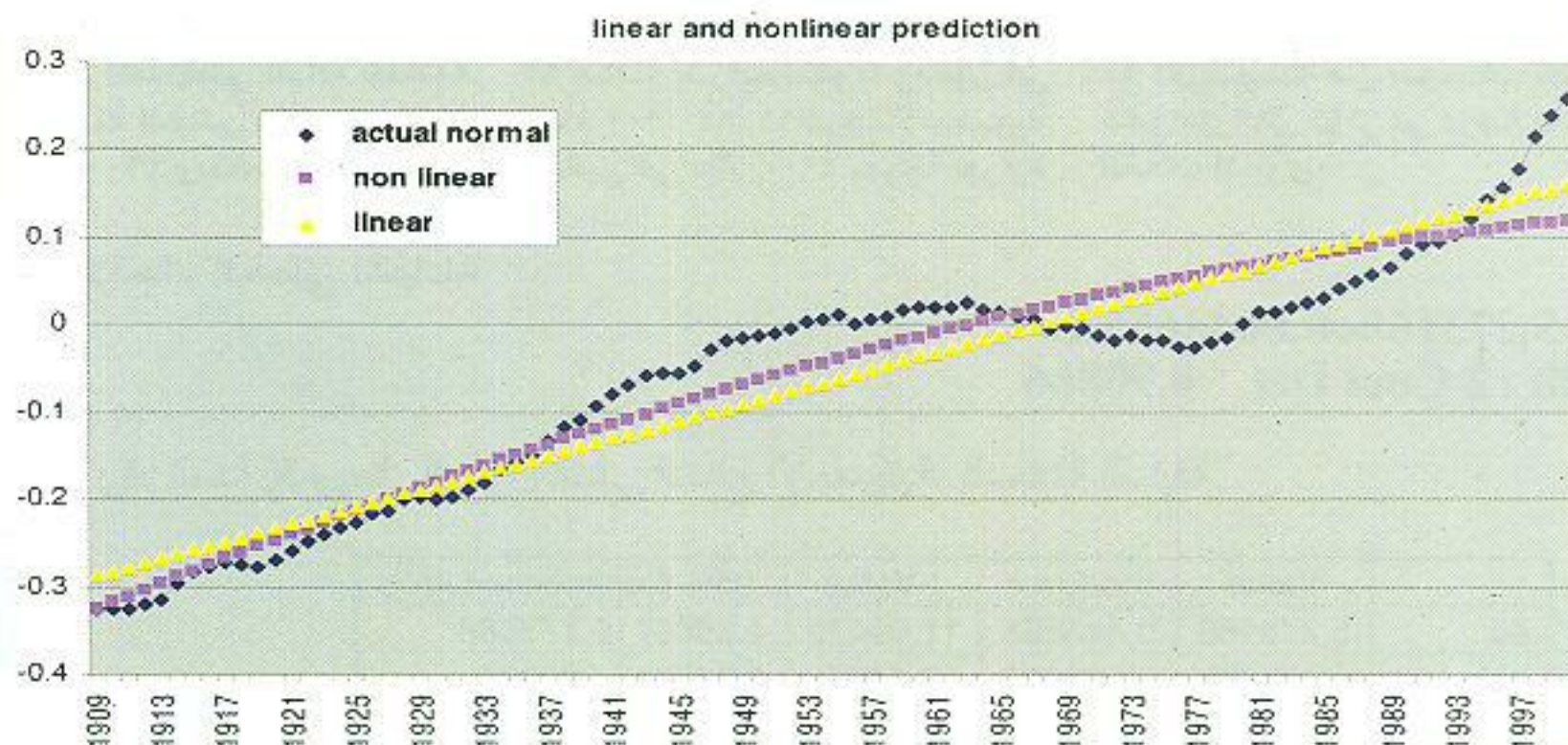
وهي الأسلوب الخطى البدائى للاتجاه العام. والذى لا يتفق مع التغيرات الطبيعية القائمة على دورات طبيعية منتقلة وتغيرات أخرى غير منتقلة وهذا البحث لا يقلل من التأثير الضار لتلوث الهواء على صحة الإنسان والكائنات الحية أو على المستقبل بالنسبة لقضية التغيرات المناخية وغازات الصوبة الدفيئة ويجب الإهتمام بهذه القضية بدراسة قائمة على النهج العلمي السليم لتلك التغيرات من قبل المتخصصين من الهيئة العامة للأرصاد الجوية قبل البدء في إنفاق ملايين من أجل مجابهة مخاطر ما زالت قائمة على أسس غير علمية.

References

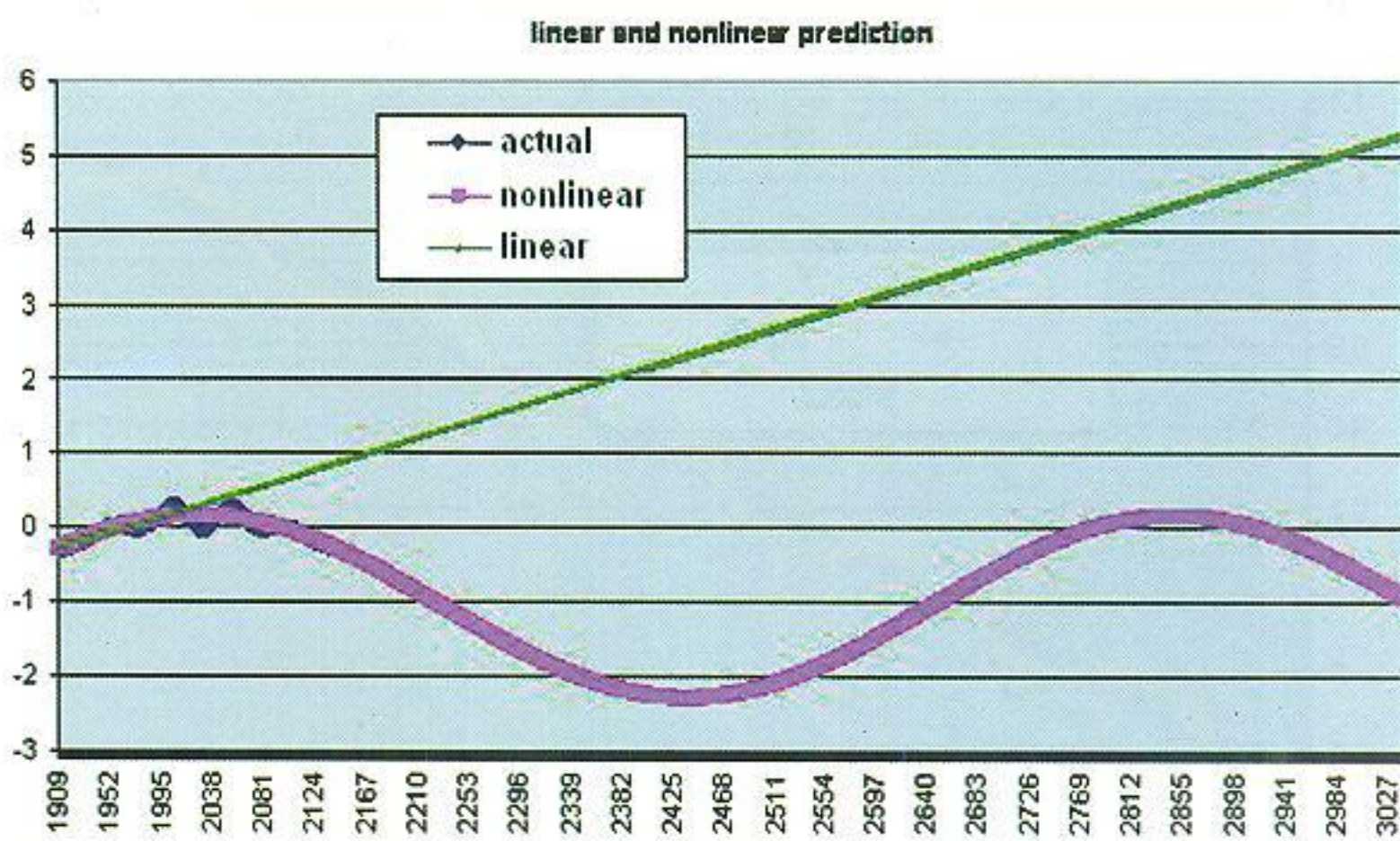
- Essenwanger D. (1976) " Applied Statistics in Atmospheric Science Univ of Alabama, Huntsville, Ala. ,U.S.A
- Hans A. Panofsky and Glenn W. Brier (1968):" Some applications of Statistics to Meteorology" Univ. Park, Pennsylvania.
- Donald R. Prothero, *The Eocene-Oligocene Transition: Paradise Lost*, Critical Moments in Paleobiology and Earth History Series, Columbia University Press, New York, 1994.
- Lester R. Brown (2002)" Global temperature rising " Earth Policy Institute Magazine

Indicator: Global and Canadian temperature variations Global Source:NASA Goddard Institute for Space Studies, New York, New York. Last update: 2005

شكل رقم (1)

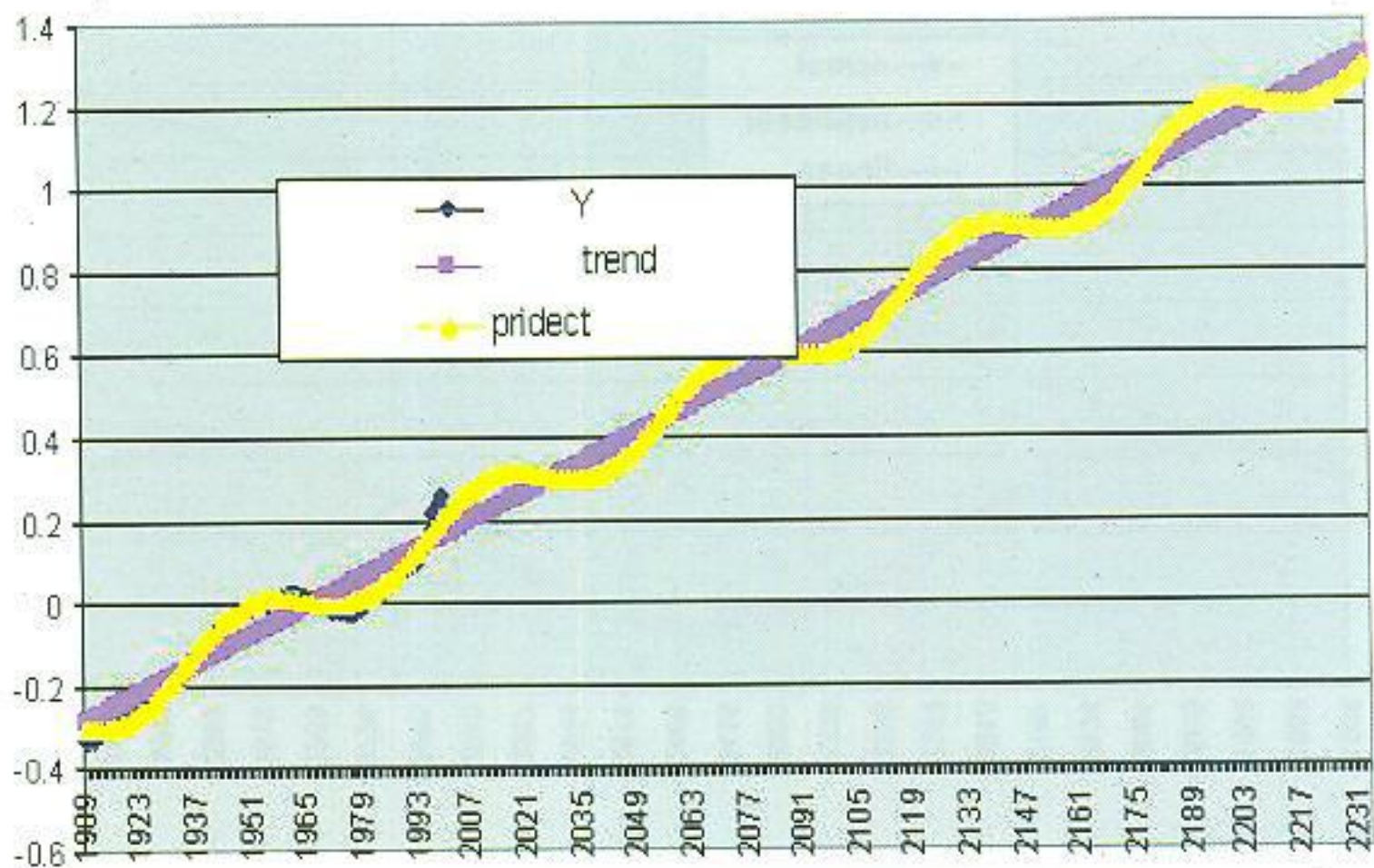


شكل رقم (٢)



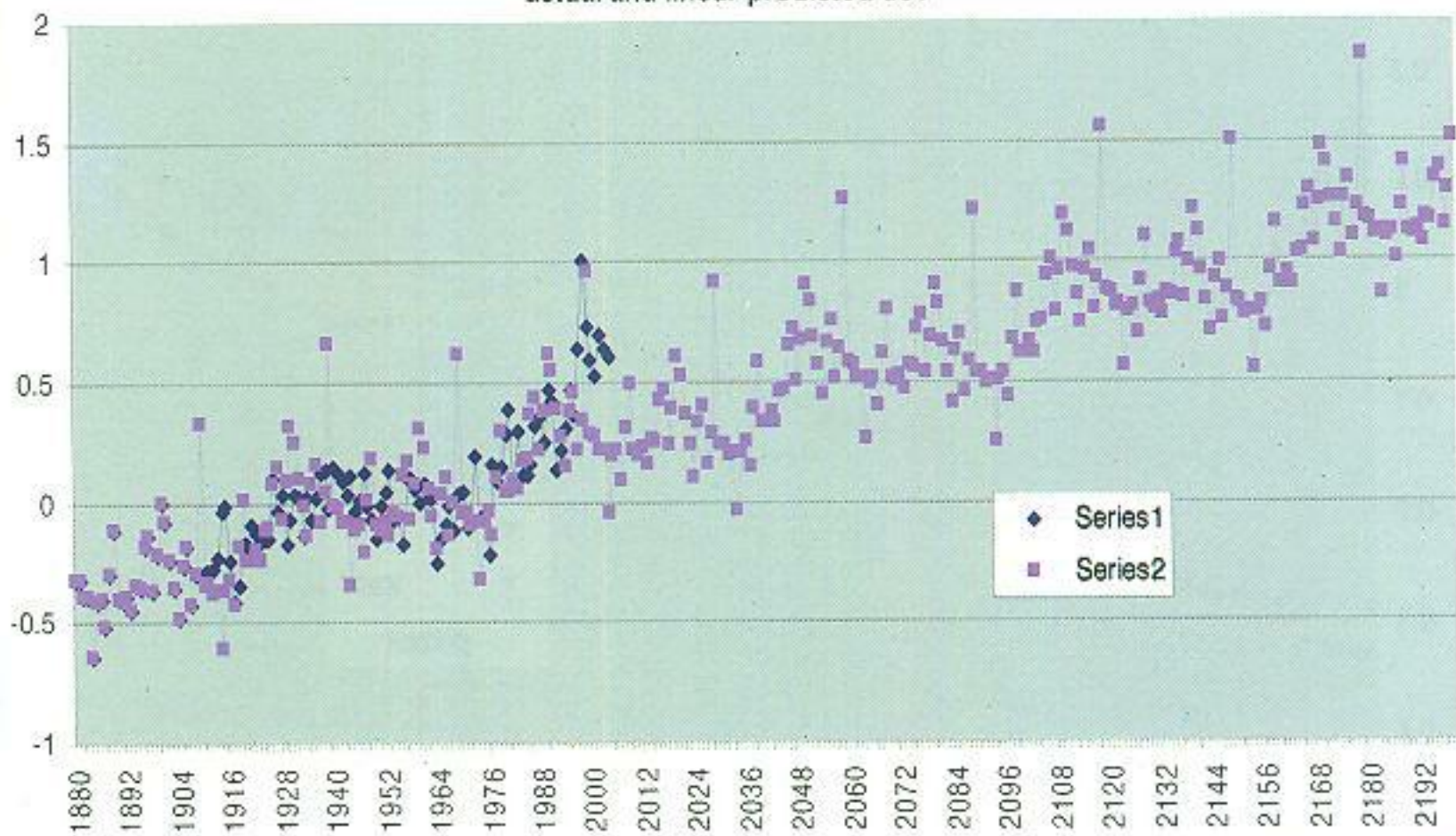
شكل رقم (٤)

actual, linear trend and predicted moving normal

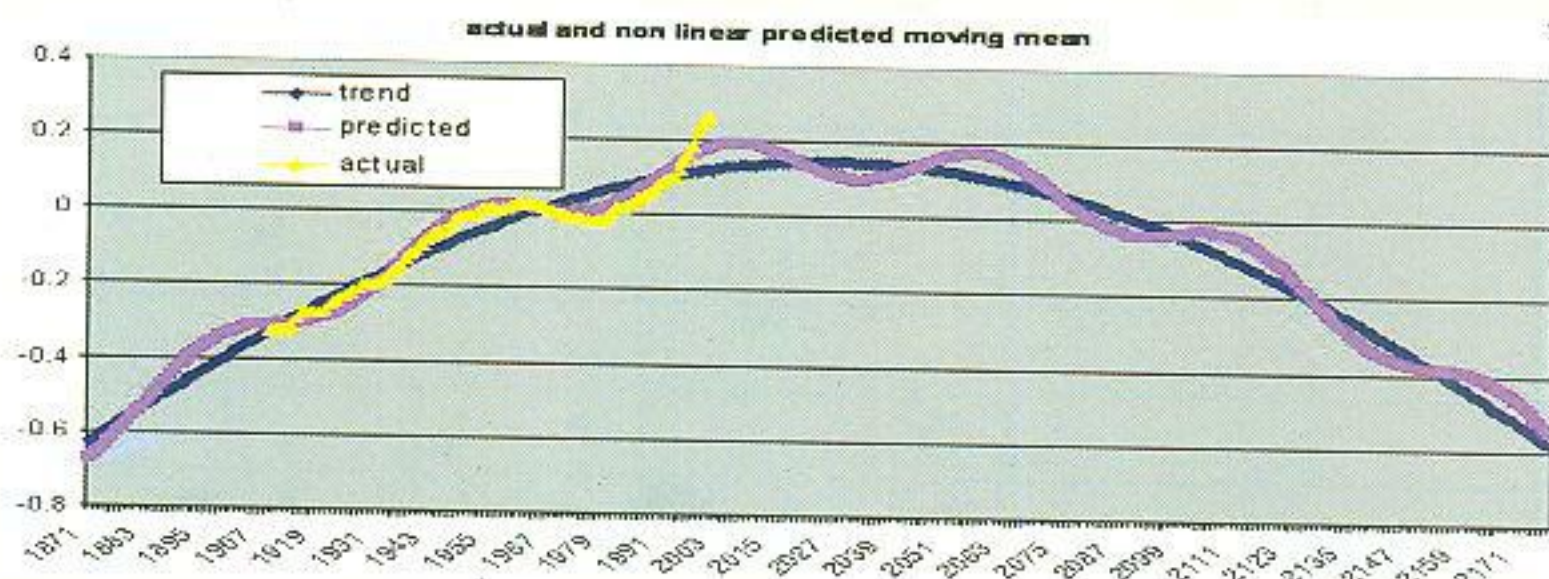


شكل (٥)

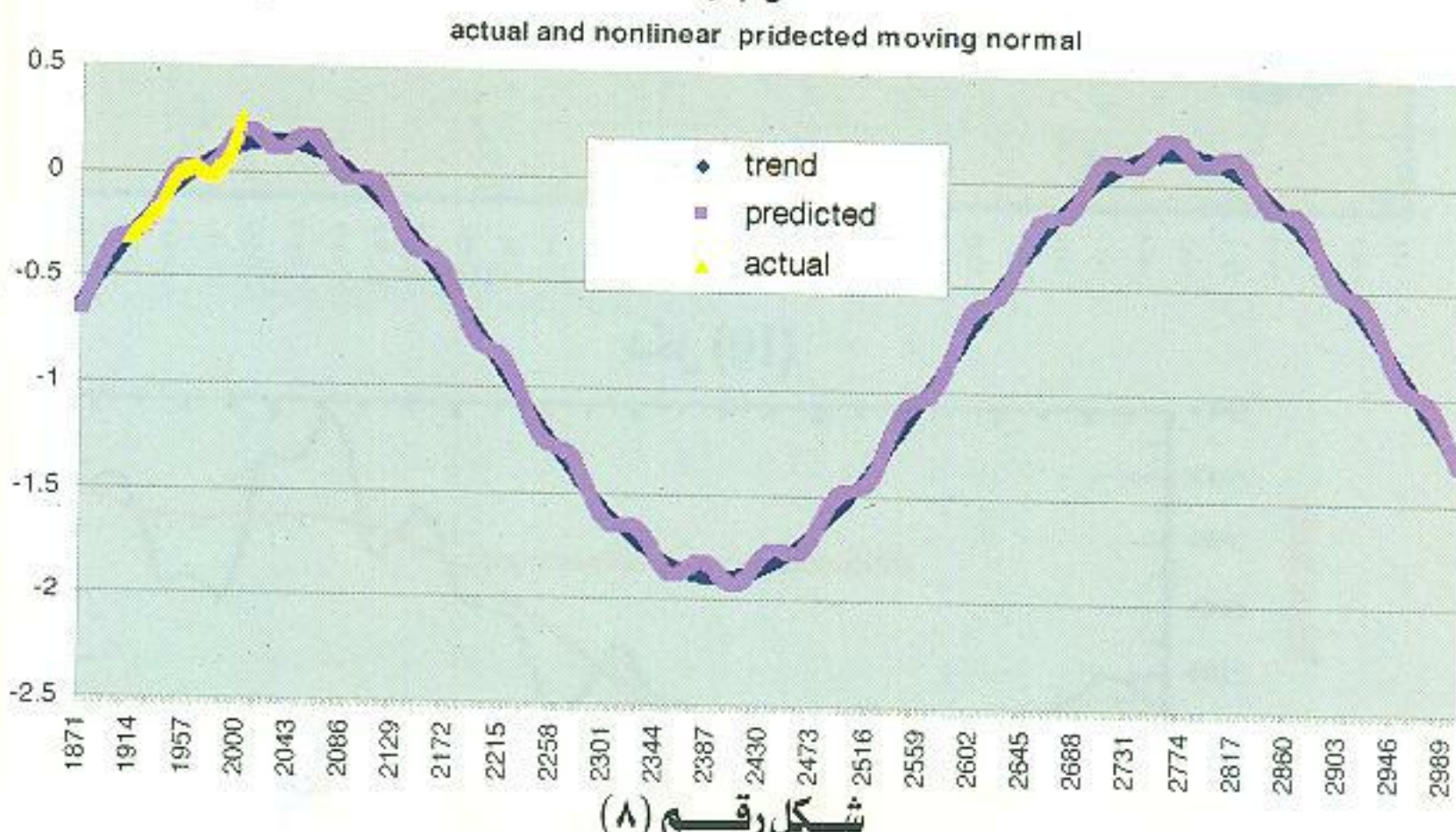
actual and linear predicted dev



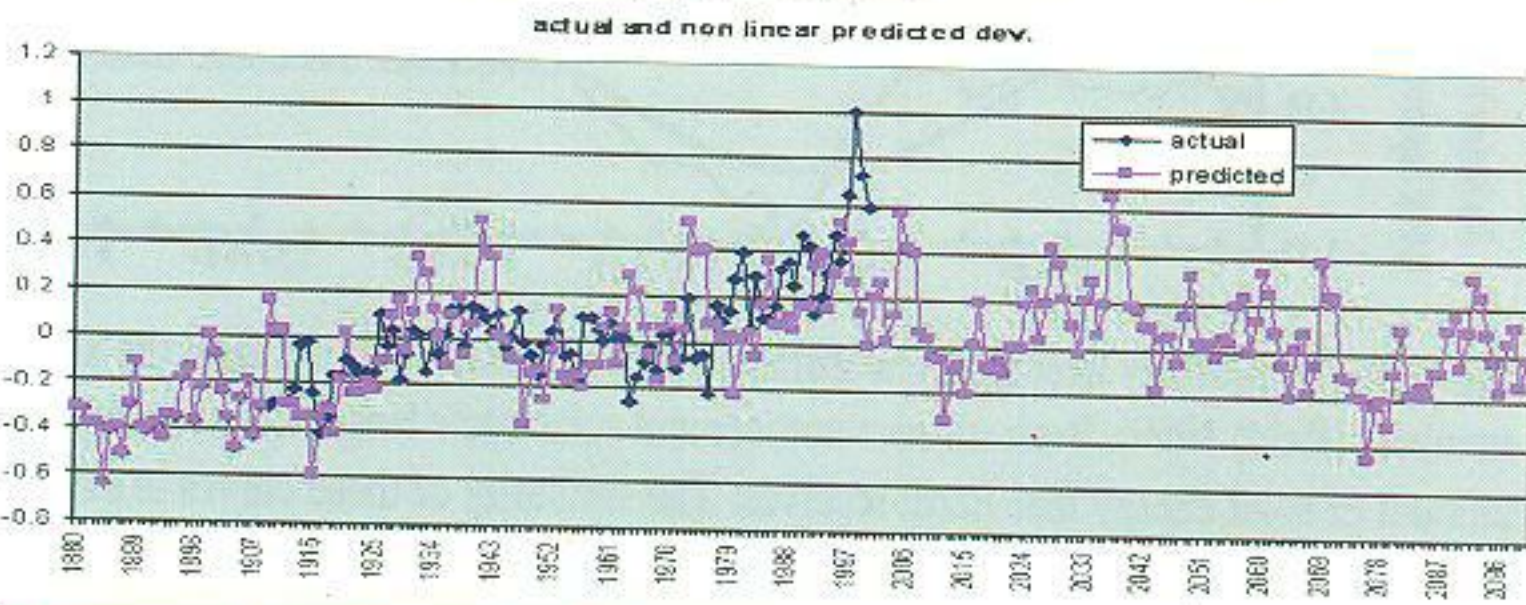
شكل رقم (٦)



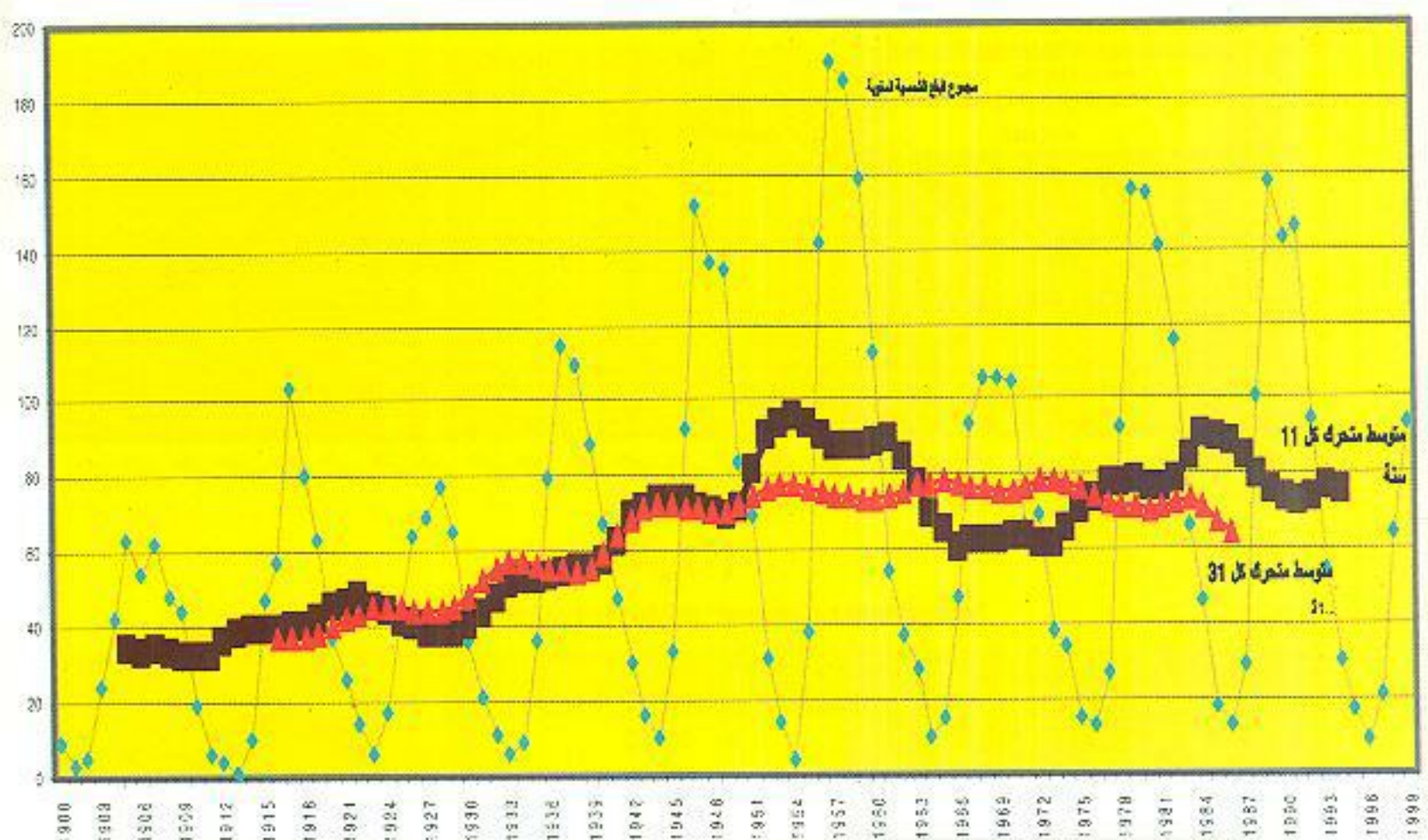
شكل (٧)



شكل رقم (٨)



شكل (9)



شكل (10)

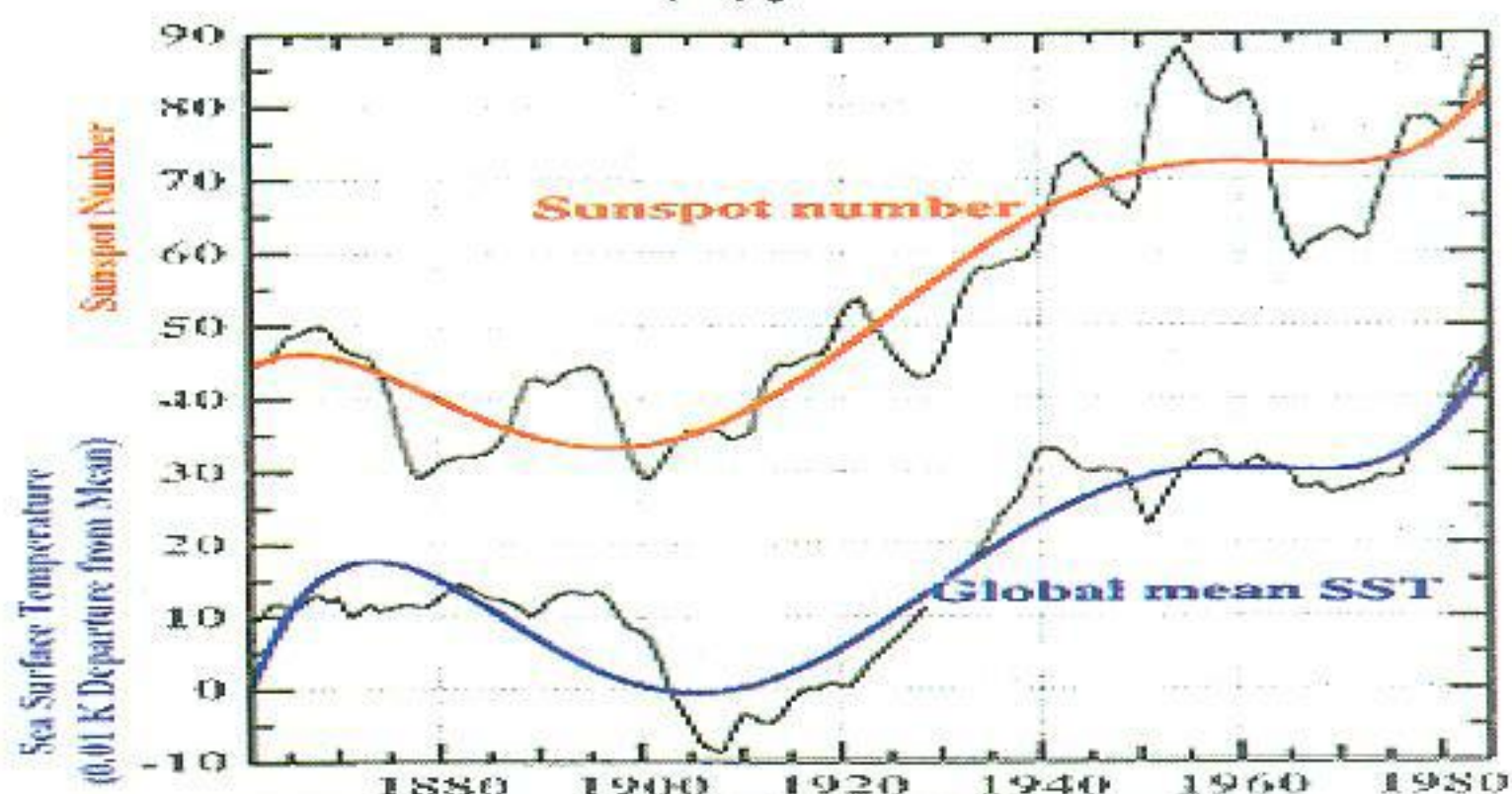
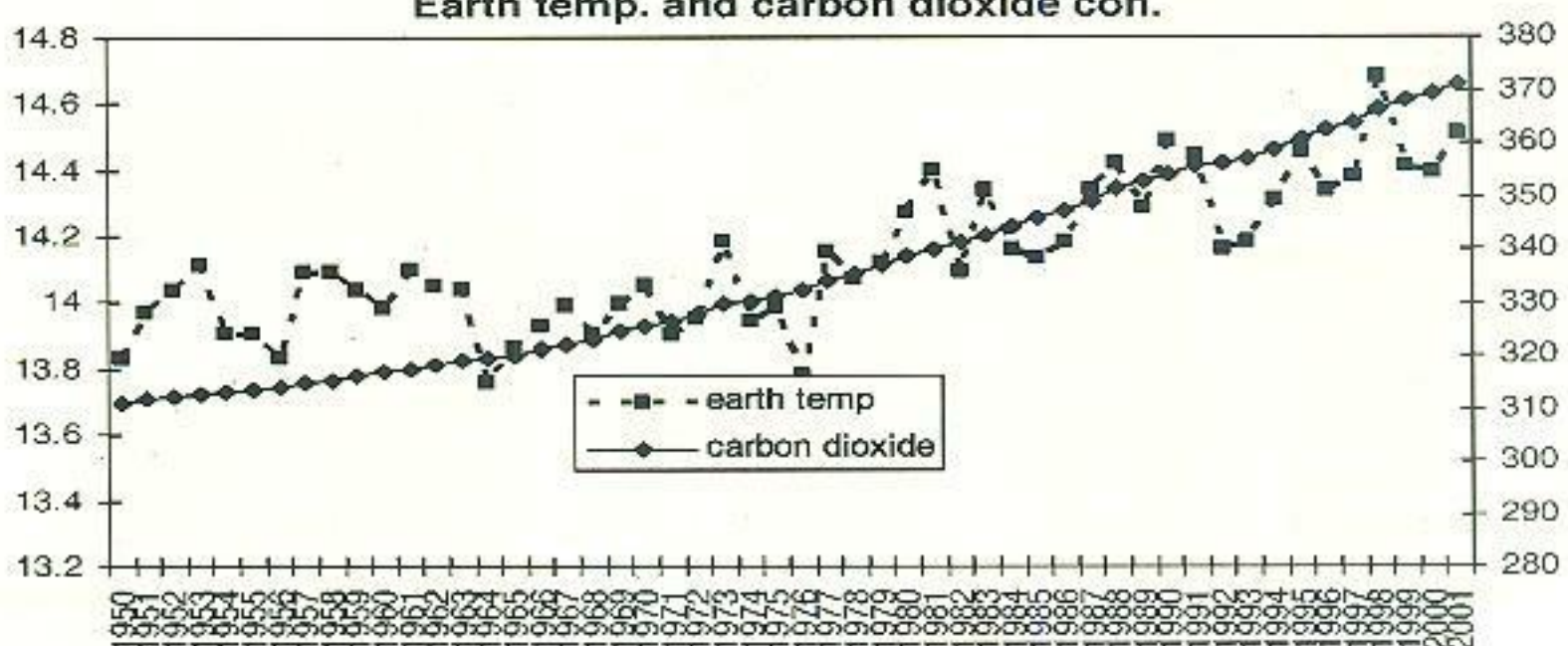


Fig (10) The globally averaged sea surface temperatures are plotted with the sunspot numbers (Reid; 1999). Both sunspot number and solar cycle length are proxies for the amount of solar energy that Earth receives. The similarity of these curves is evidence that the sun has influenced the climate of the last 150 years.

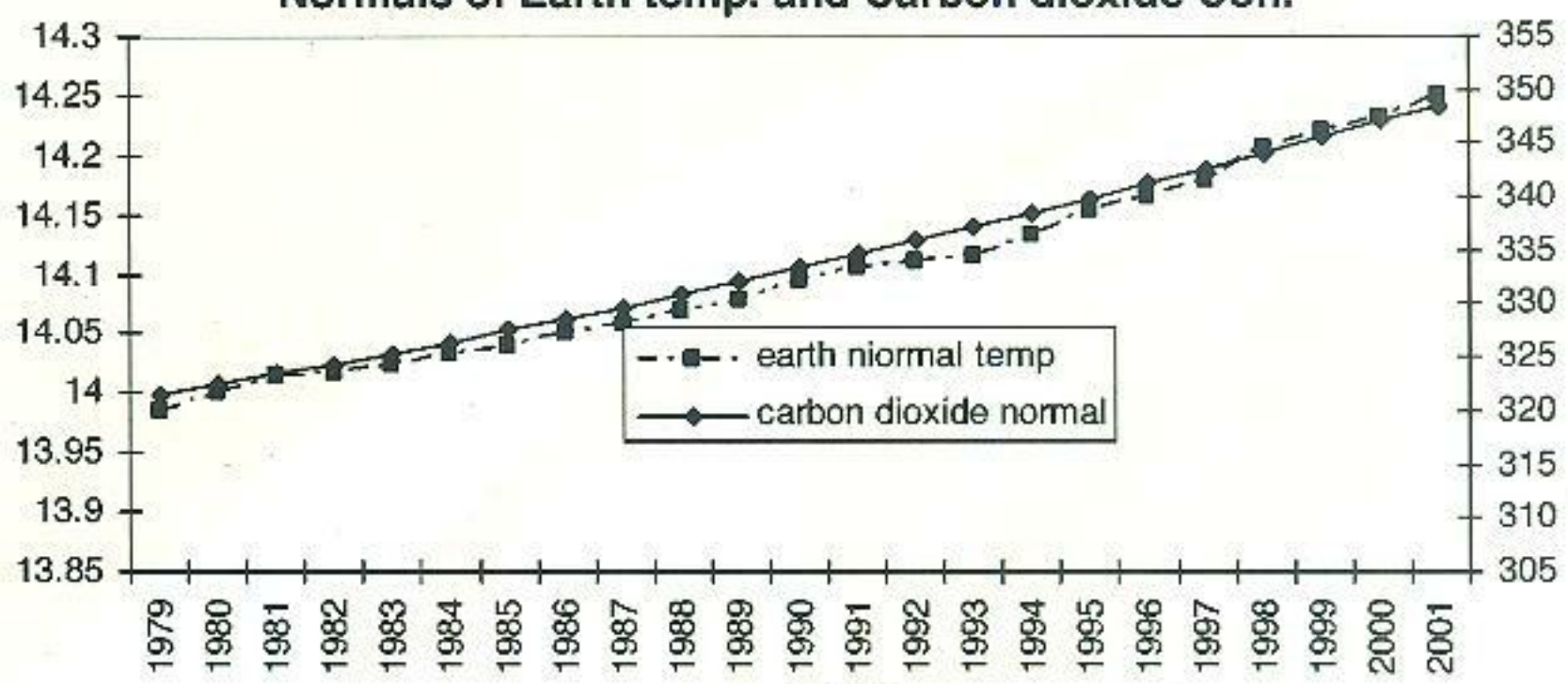
شكل (11)

Earth temp. and carbon dioxide con.



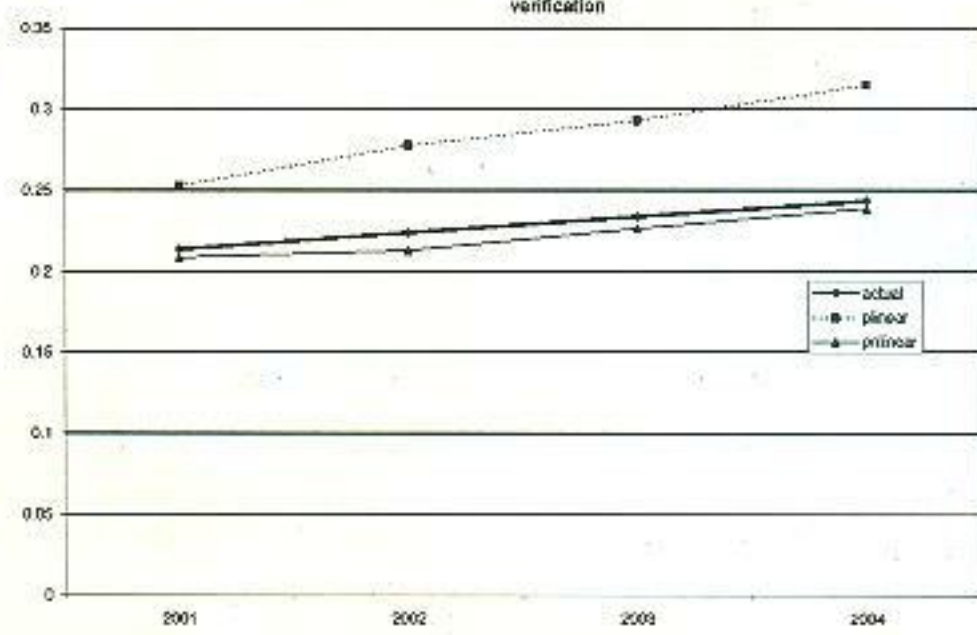
شكل (12)

Normals of Earth temp. and Carbon dioxide Con.



شكل (13)

verification



Trend

Linear Group 1 $y=a_0+a_1*x$

2 Coef Det	DF Adj r2	Fit Std Err	F-Statistic
0.887166	0.885912	0.047174	707.630704

	Value	Std Error	t-Value	95% Confidence Limits
a0	-0.325832	0.011062	-29.455812	0.0356940.061479
a1	0.003284	0.000123	26.601289	0.0015190.001766

SineWaveSquared $y=a_0+a_1*\sin(2*\pi*x/a_3+a_2)^2$

2 Coef Det	DF Adj r2	Fit Std Err	F-Statistic
0.904968	0.901728	0.043763	279.334977

	Value	Std Error	t-Value	95% Confidence Limits
a0	0.145164	0.077084	1.883185	-0.0090050.299333
a1	-2.041202	8.640163	-0.236246	-19.32152715.239124
a2	-0.534377	1.198043	-0.446042	-2.9304621.861708
a3	2216.772592	5705.386518	0.38854	-9194.00044313627.545627

For linear

SineWave $y=a_0+a_1*\sin(2*\pi*x/a_3+a_2)$

2 Coef Det	DF Adj r2	Fit Std Err	F-Statistic
0.884308	0.880364	0.016227	224.214285

	Value	Std Error	t-Value	95% Confidence Limits
a0	0.012052	0.001777	6.783494	0.0084990.015605
a1	0.064465	0.002497	25.821753	0.0594720.069458
a2	-9.746549	0.087874	-110.915465	-19.493099
a3	91.425366	1.232524	74.177355	88.96031893.890413

or nonlinear

SineWave $y=a_0+a_1*\sin(2*\pi*x/a_3+a_2)$

2 Coef Det	DF Adj r2	Fit Std Err	F-Statistic
0.748301	0.73972	0.021956	87.208042

	Value	Std Error	t-Value	95% Confidence Limits
a0	0.007477	0.002448	3.054154	0.0025810.012373
a1	0.05493	0.003413	16.096182	0.0481050.061755
a2	-10.464075	0.128074	-81.703211	-20.928151
a3	81.198029	1.496469	54.259749	78.20509184.190966

final linear

Linear Group 1 $y=a_0+a_1*x$

2 Coef Det	DF Adj r2	Fit Std Err	F-Statistic
0.987261	0.98712	0.015851	6974.943578

	Value	Std Error	t-Value	95% Confidence Limits
a0	-0.001077	0.001808	-0.595777	-0.0046920.002538
a1	0.982541	0.011765	83.516128	0.9590111.00607

final nonlinear

2 Coef Det	DF Adj r2	Fit Std Err	F-Statistic
0.991841	0.991595	0.020905	3971.627544

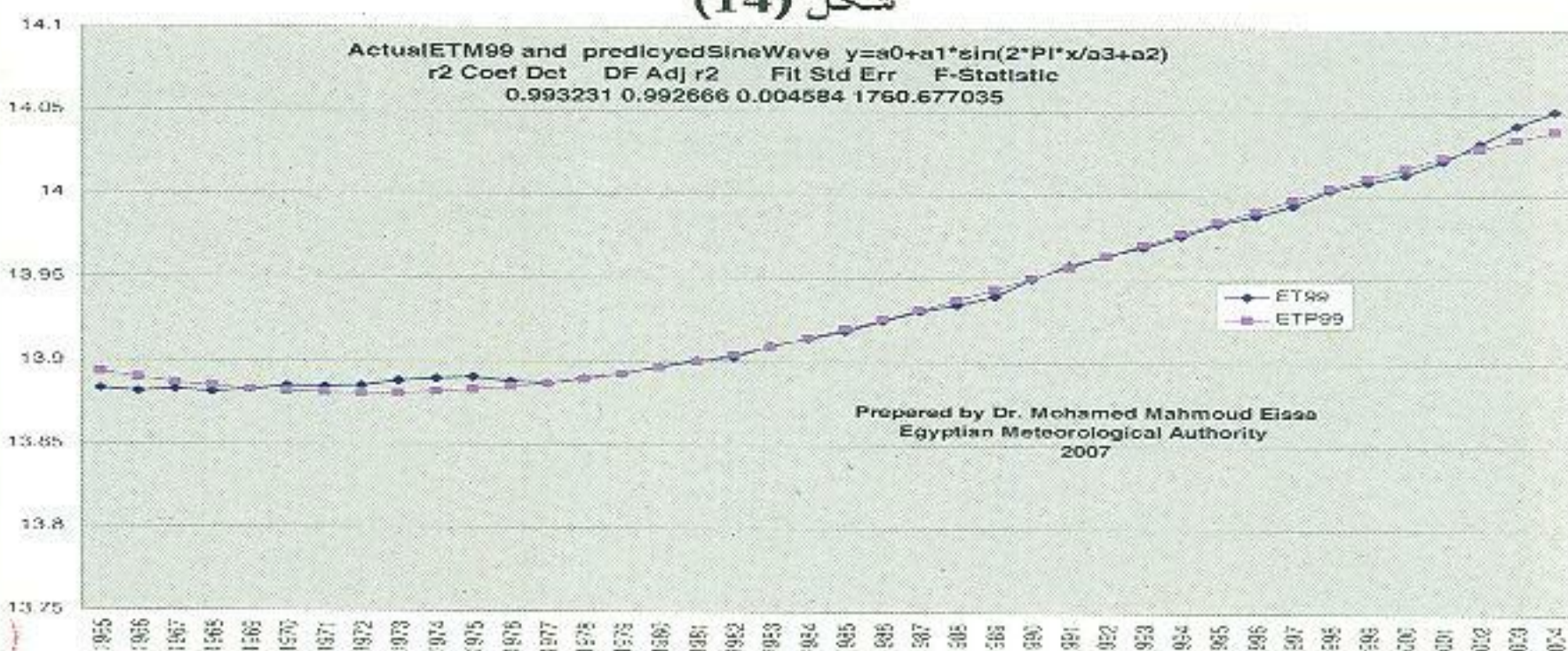
	Value	Std Error	t-Value	95% Confidence Limits
a0	-0.000391	0.00239	-0.163552	-0.0051720.00439
a1	0.993938	0.015772	63.02085	0.9623951.025482

$$y = -0.325832 + 0.003284 * x + 0.012052 + 0.064465 * \sin(2 * (22/7) * x / 91.425366 - 9.746549)$$

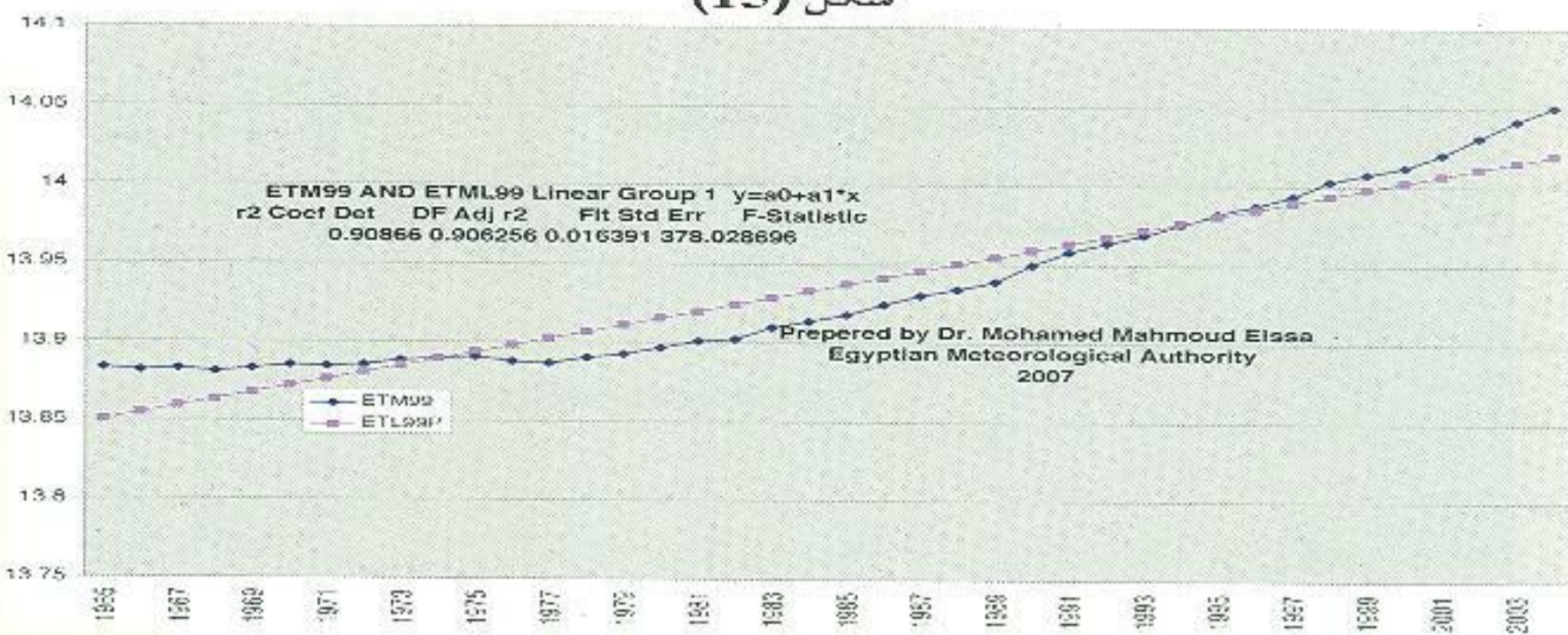
$$Y = 0.145164 - 2.041202 * \sin(2 * (22/7) * x / 2216.772592 - 0.534377)^2 + 0.007477 + 0.05493 * \sin(2 * (22/7) * x / 81.198029 - 10.464075)$$

Appendix(1).

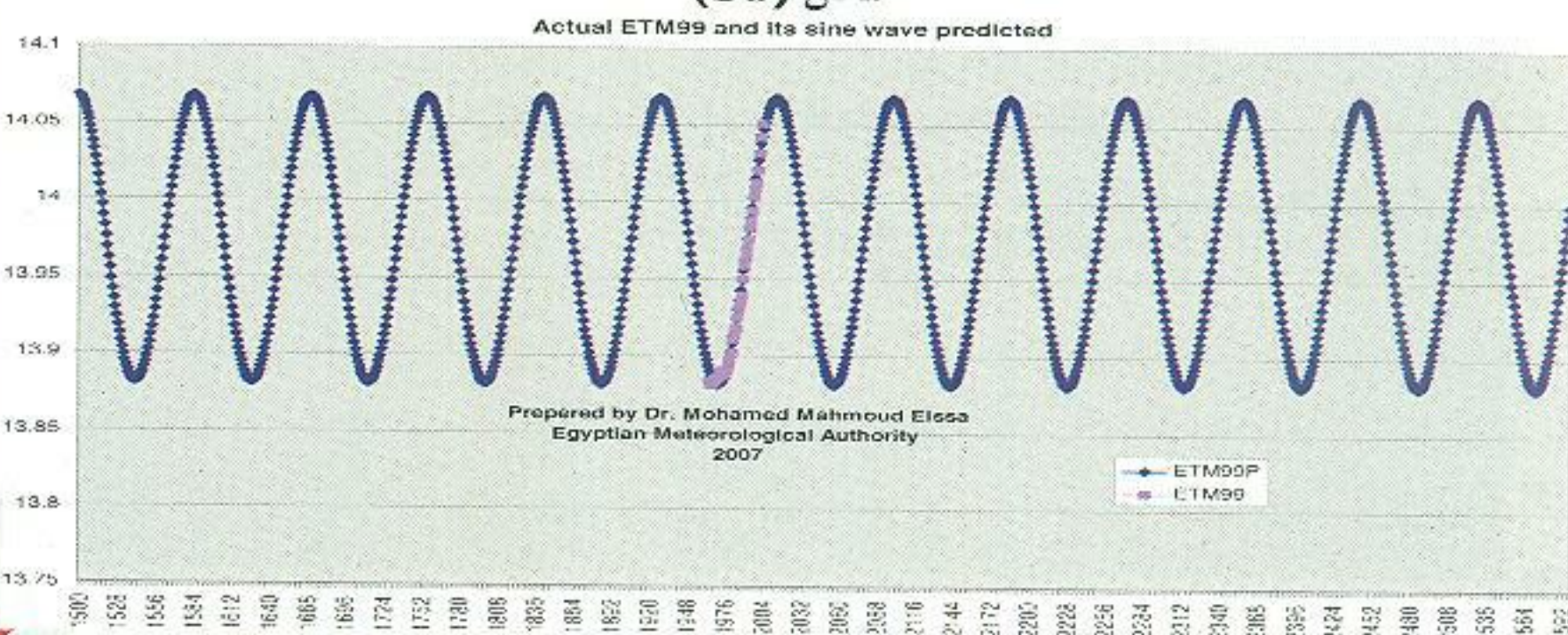
شكل (14)



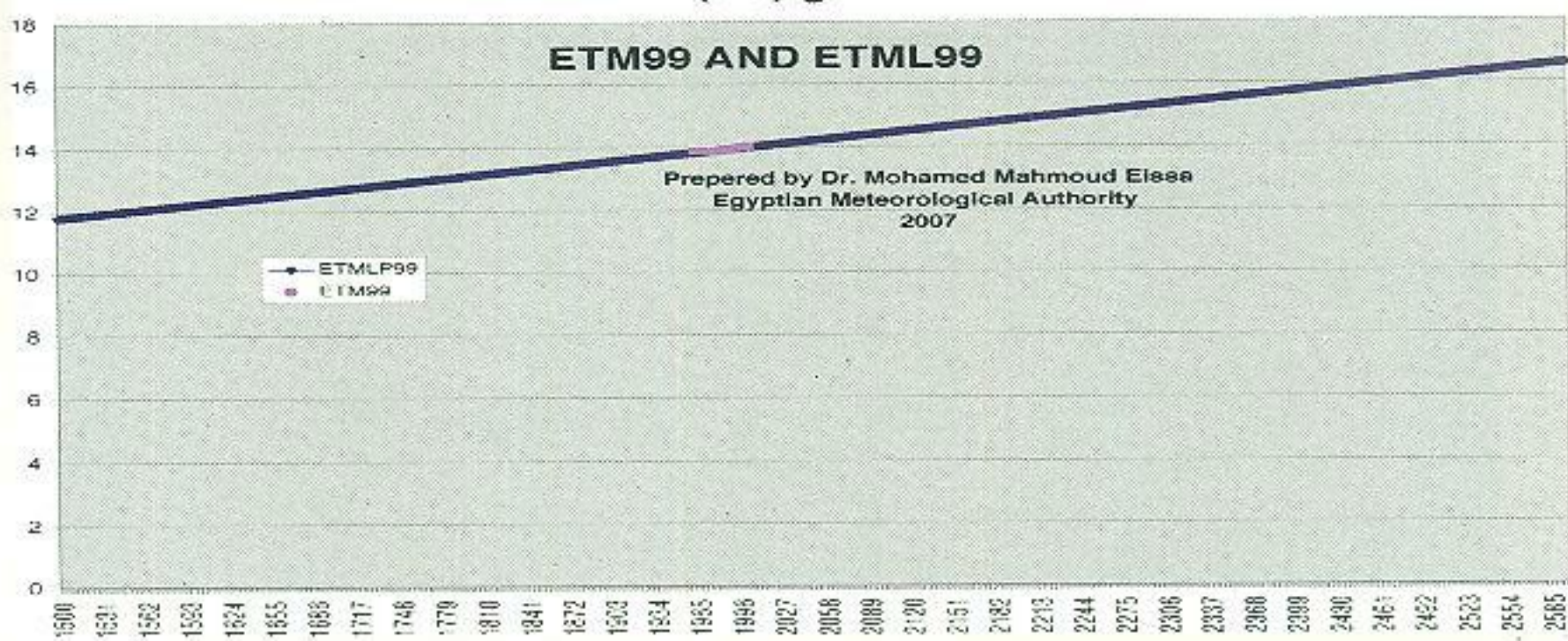
شكل (15)



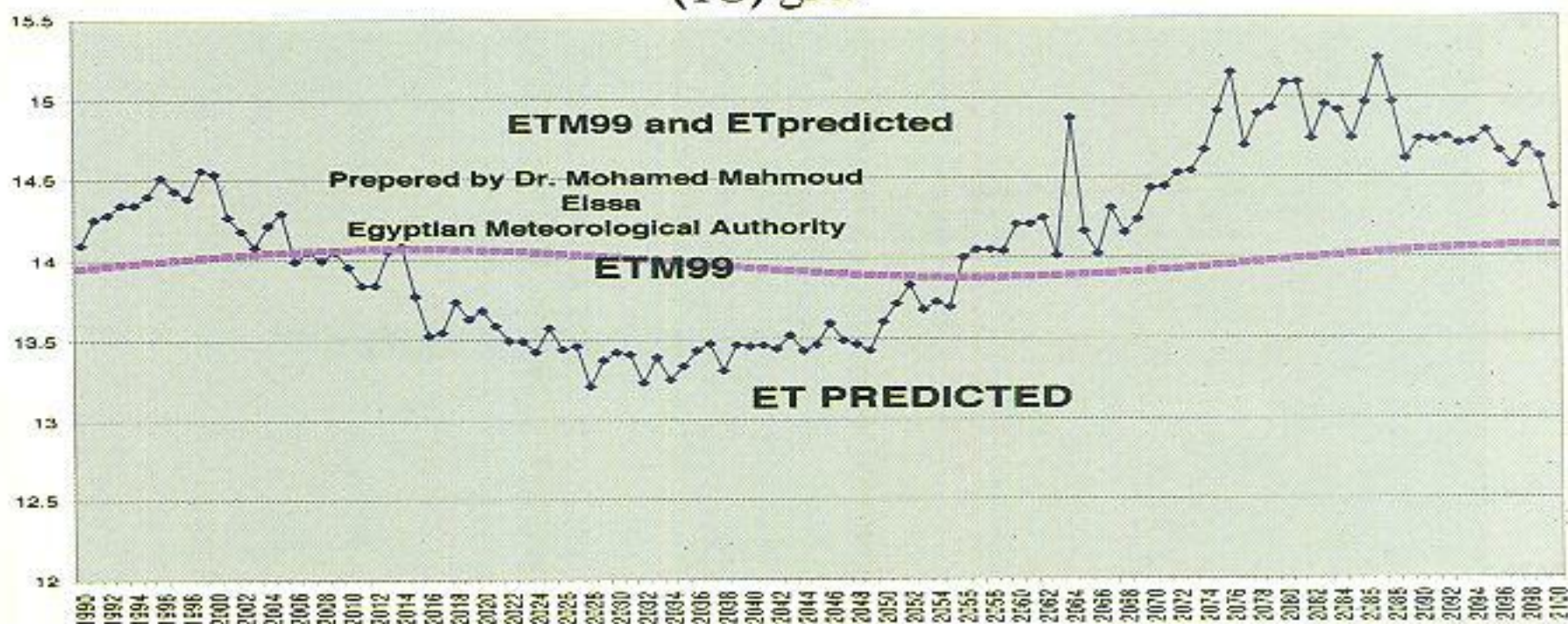
شكل (16)



شكل (17)



شكل (18)



شكل (19)

